

2D-NMR 기법을 이용한 (20S)와 (20R)-Protopanaxadiol의 ¹H- 및 ¹³C-NMR 완전 동정

백남인 · 김동선¹ · 이유희 · 박종대 · 정소영 · 이천배¹ · 김신일

한국인삼연초연구원 인삼효능부, ¹충남대학교 자연과학대학 생화학과

(1994년 2월 10일 접수)

Complete Assignment of ¹-H and ¹³C-NMR Signals for (20S) and (20R)-Protopanaxadiol by 2D-NMR Techniques

Nam-In Baek, Dong Seon Kim¹, You Hui Lee, Jong Dae Park, So Young Jeong,
Chun Bae Lee¹ and Shin Il Kim

Korea Ginseng and Tobacco Research Institute, Taejon 305-345, Korea

¹Department of Biochemistry, College of Natural Sciences, Chung Nam University, Taejon 305-764, Korea

(Received February 10, 1995)

Abstract (20S)- and (20R)-protopanaxadiol were prepared from crude ginseng saponin by chemical treatment. The ¹H- and ¹³C-NMR signals of these compounds were fully assigned by various NMR techniques such as DEPT, ¹H-¹H COSY, HMQC, HMBC and NOESY.

Key words (20S)-protopanaxadiol, (20R)-protopanaxadiol, 2D-NMR, ¹H-¹H COSY, HMQC, HMBC, NOESY.

서 론

사포닌은 인삼뿌리 중에 3~4%나 함유되어 있는¹⁾ 주성분으로, 인삼의 약효를 나타내는 주요물질의 하나로 알려져 있다. 지금까지 29종의 사포닌이 인삼으로부터 분리되어,²⁾ ginsenoside로 명명³⁾되어 있으며, 그 비당부의 구조에 따라 3종으로 대별된다. Protopanaxadiol을 비당부로 갖는 사포닌이 20종, protopanaxatriol이 8종이며, oleanolic acid의 경우는 ginsenoside Ro 1종 뿐이다.

Ginsenoside Rb₁, Rb₂, Rc 및 Rd와 같은 protopanaxadiol(PPD)계 주종 사포닌에 대하여는 약리효능 연구가 활발히 이루어져, 인체의 광범위한 영역에서 약효를 나타내는 것으로 밝혀져 있으나, 대부분의 미량 사포닌은 시료 공급이 제한되어 있어 약리효능에 관하여 연구보고된 바가 아주 적다. 최근 들어 미량

사포닌인 ginsenoside Rh₂가 항암활성과 관련하여 여러 가지 유용한 약리효능을 가지고 있음이 보고됨^{4~7)}에 따라, 이러한 미량 사포닌을 화학적으로 합성하고자 하는 연구가 이루어지고 있다.^{8,9)} 이때 가장 문제가 되는 것이 그 비당부인 protopanaxadiol의 제조인데, 보통 배당체는 산으로 가수분해하면 쉽게 그 비당부를 얻을 수 있으나, protopanaxadiol과 같은 dammarane계의 경우는 산가수분해할 때 C-20의 수산기와 C-25의 이중결합 사이에서 tetrahydropyran 환구조가 형성되면서 panaxadiol이라는 새로운 유사 비당부가 주로 얻어진다.

저자 등은 protopanaxadiol을 3번의 임체구조만이 다른 betulafolienetetril을 자작나무잎으로부터 분리한 후, 화학적 반응을 이용하여 protopanaxadiol을 제조하였고,¹⁰⁾ 인삼의 PPD계 조사포닌을 알칼리 처리하여 protopanaxadiol을 제조하는 몇 가지 방법을 확립¹⁰⁾

하였다. 이 과정에서 protopanaxadiol의 구조를 확인하기 위하여 NMR을 검토하였는데, 이전에 보고되었던 NMR 자료¹¹⁾에 불분명한 점이 많음을 발견하였다. 이에 본 논문에서는 HMQC(Heteronuclear Multiple Quantum Correlation), NOESY(Nuclear Overhauser Spectroscopy), HMBC(Heteronuclear Multiple Bonding Connectivity)와 같은 2D-NMR 기법을 이용하여 protopanaxadiol 및 인삼제품 제조과정 중 입체반전을 일으켜 새로이 얻어지는 (20R)-protopanaxadiol의 NMR의 signal들을 명확하게 정리하여, 앞으로의 인삼 사포닌의 화학적 연구의 기틀을 확립하고자 한다.

재료 및 방법

1. 홍 삼

Ginsenosides의 분리를 위해 사용한 홍삼은 한국 담배인삼공사 고려인삼창에서 6년근 수삼으로 제조한 것을 제공받아 사용하였다.

2. 시 약

Column chromatography-용 silicagel은 Kieselgel 60(70~230 mesh, Merck)을, 그외의 시약은 모두 일급, 또는 특급을 사용하였다.

3. 기 기

사용된 기기는 다음과 같다.

¹H-(400 MHz) & ¹³C-NMR(100 MHz) : BRUKER Model AMX 400.

4. (20R&S)-ginsenoside Rg₃의 제조

조사포닌 분획으로부터 본 실험실에서 확립한 방법⁸⁾을 이용하여 (20R&S)-ginsenoside Rg₃ 혼합물(200 mg)을 제조하였다.

5. (20R)-& (20S)-protopanaxadiol의 제조 및 분리

위에서 얻은 (20R&S)-ginsenoside Rg₃ 혼합물(200 mg)을 포화 NaOH/n-BuOH-MeOH(4 : 1) 100 mL에 용해하고 100°C에서 3일간 교반하였다. 반응액을 중류수 100 mL로 3회 세척하고 감압농축한 후, 중류수 100 mL에 용해하고 ethyl ether 100 mL로 2회 추출하여 감압농축하였다. 농축물을 silica gel column chromatography(*n*-hexane-EtOAc=1 : 1)하여 (20R)-protopanaxadiol(35 mg) 및 (20S)-protopanaxadiol(42 mg)을 얻었다.

결과 및 고찰

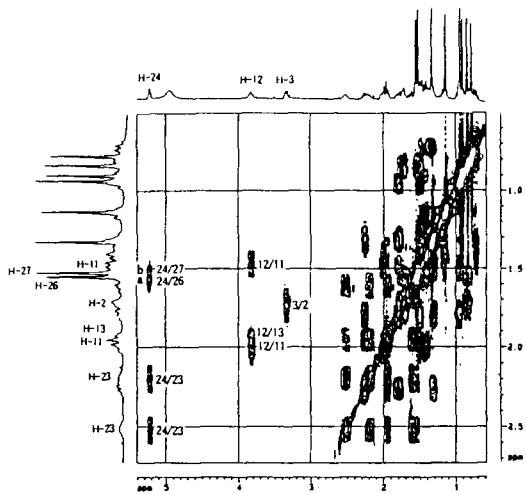


Fig. 1-1. ¹H-¹H COSY Spectrum of (20S)-protopanaxadiol(1).

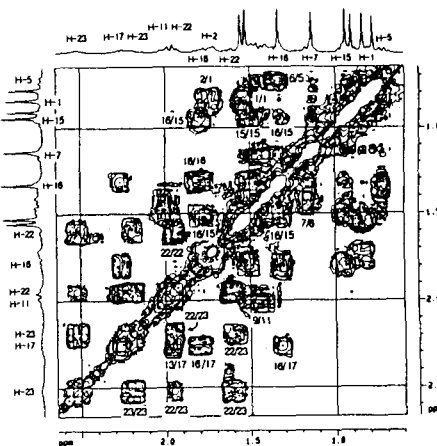
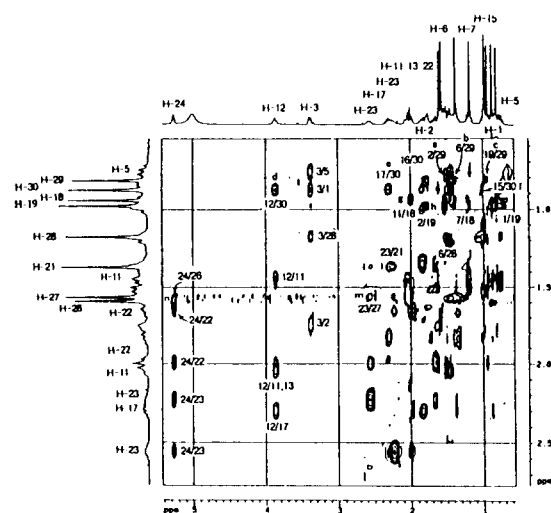


Fig. 1-2. ¹H-¹H COSY Spectrum of (20S)-protopanaxadiol(1).

PPD계 인삼 사포닌으로부터 그 비당부를 화학적으로 제조하기 위하여 여러 가지 반응조건을 검토한 결과, 알칼리로는 NaOH를, 용매로는 *n*-BuOH-MeOH(4 : 1)의 혼합용매를 사용하였을 때 가장 수율이 높게 나타났다. 용매의 경우는 그 반응물질을 가장 잘 용해시키는 것이어야 하므로, 반응물질의 종류에 따라 그 반응용매도 달라져야 할 것으로 생각된다.

한편, 입체이성체는 보통 silica gel이나 ODS를 이용하여 column chromatography하거나 HPLC하여도 분리되지 않는 경우도 많다. 그러나 본 실험에서는

**Fig. 2.** NOESY Spectrum of (20S)-protopanaxadiol(1).

ginsenoside Rg₃로부터 제조된(20R&S)-protopanaxadiol의 혼합물을 용출용매로 *n*-hexane-EtOAc(1 : 1)을 사용하여 silica gel column chromatography하였을 때에 용이하게 분리할 수 있었다.

(20S)-protopanaxadiol(1)의 ^1H -NMR(400 MHz, d_5 -Py)에 있어서의 대부분의 signal이 ^1H - ^1H COSY(Fig. 1-1, 1-2)로부터 동정되었다. 3.34 ppm에서 관측된 H-3 signal로부터 H-2와 H-1의 methylene signal이, 3.83 ppm에서 관측된 H-12 signal로부터 H-11, H-9 및 H-13, H-17, H-16, H-15 signal을 각각 동정할 수 있었다. 또한 H-24(8.522)의 olefinic proton으로부터 H-23과 H-22 methylene signal을 동정할 수 있었을 뿐만 아니라, 원격 coupling하고 있는 H-26과 H-27 (peak a 및 b)의 singlet methyl signal을 동정할 수 있었다. 한편, H-5 methine signal은 가장 고자장(8.0.72)에서 관측이 되었는데, 이 signal로부터 H-6과 H-7 methylene signal이 동정되었다.

다른 signal들과 겹쳐서 나타나 ^1H - ^1H COSY에 의해서는 동정이 모호했던 몇 개의 signal과, singlet으로 관측이 되는 8개의 methyl signal은 NOESY(Fig. 2) spectrum으로부터 확인할 수 있었다. 즉, CH₃-29 signal은 peak a(H-29/H-2), peak b(H-29/H-6) 및 peak c(H-29/H-19)로부터, CH₃-30 signal은 peak d(H-30/H-12), peak e(H-30/H-17) 및 peak f(H-30/H-15)로부터, CH₃-18 signal은 peak g(H-18/H-11)로부터, CH₃-19 signal은 peak h(H-19/H-2) 및 peak i(H-19/H-

Table 1. ^1H -NMR of (20S)-(1) and (20R)-protopanaxadiol(2) (400 MHz, d_5 -Py).

No. of H	(20S)-protopanaxadiol(1)	(20R)-protopanaxadiol(2)
H-1	0.87(1H, ddd-like) 1.57(1H, ddd-like)	0.84(1H, ddd-like) 1.57(1H, ddd-like)
H-2	1.72(1H, m) 1.78(1H, m)	1.71(1H, m) 1.74(1H, m)
H-3	3.44(1H, dd, $J=5.3, 10.8$)	3.34(1H, dd, $H=5.2, 10.6$)
H-5	0.72(1H, dd, $J=2.0, 11.0$)	0.74(1H, dd, $J=2.1, 10.1$)
H-6	1.37(1H, m) 1.42(1H, m)	1.41(1H, m) 1.51(1H, m)
H-7	1.15(1H, ddd-like) 1.47(1H, ddd-like)	1.18(1H, br.dd, $J=2.6, 12.0$) 1.49(1H, ddd-like)
H-9	1.43(1H, dd-like)	1.48(1H, ddd-like)
H-11	1.45(1H, ddd-like) 2.00(1H, ddd-like)	1.44(1H, ddd-like) 2.02(1H, br.dd, $J=4.2, 6.2$)
H-12	3.83(1H, ddd, $J=5.2, 10.4$, 10.4)	3.85(1H, ddd, $J=5.2, 10.5, 10.5$)
H-13	1.97(1H, dd, $J=10.4, 10.4$)	1.94(1H, dd, $J=10.5, 10.5$)
H-15	0.95(1H, ddd-like) 1.49(1H, ddd-like)	0.98(1H, ddd-like) 1.52(1H, ddd-like)
H-16	1.32(1H, m) 1.82(1H, m)	1.30(1H, m) 1.85(1H, m)
H-17	2.26(1H, ddd, $J=7.4, 10.4, 10.4$)	2.30(1H, ddd, $J=7.3, 10.5, 10.5$)
H-18	0.90(3H, s)	0.95(3H, s)
H-19	0.94(3H, s)	0.96(3H, s)
H-21	1.33(3H, s)	1.31(3H, s)
H-22	1.63(1H, ddd-like) 1.93(1H, ddd-like)	1.61(1H, ddd-like) 1.64(1H, ddd-like)
H-23	2.21(1H, m) 2.51(1H, m)	2.32(1H, m) 2.39(1H, m)
H-24	5.22(1H, dd, $J=7.0, 7.0$)	5.23(3H, s)
H-26	1.55(3H, s)	1.60(3H, s)
H-27	1.53(3H, s)	1.56(3H, s)
H-28	1.44(3H, s)	1.15(3H, s)
H-29	0.78(3H, s)	0.81(3H, s)
H-30	0.84(3H, s)	0.88(3H, s)

1)으로부터 동정이 되었고, CH₃-28 signal은 peak i(H-28/H-3) 및 peak k(H-28/H-6)로부터 CH₂-21 signal은 peak l(H-21/H-23)로부터, CH₃-27과 CH₃-26은 각각 peak m(H-27/H-23)과 peak n(H-26/H-24)으로부터 동정이 되었다. 이밖에 미확인된 signal들은 HMQC spectrum을 상세히 조사하여, (20S)-protopanaxadiol(1)의 전 수소의 signal을 Table 1과 같이 동정하였다.

(20S)-protopanaxadiol(1)의 ^{13}C -NMR에 있어서의 각 탄소의 chemical shift는 이전에 보고된 바^[11]에 따르면(Table 2) C-1과 C-4가 구별되어 있지 않고,

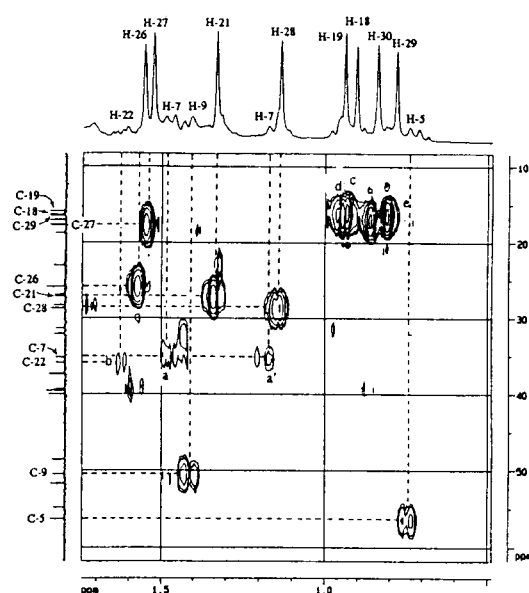


Fig. 3. HMQC Spectrum of (20S)-protopanaxadiol(1).

C-18, C-19, C-29는 사람에 따라 다른 결과^{11, 12)}를 보여주고 있다. 본 논문에서는 DEPT와 HMQC(Fig. 3)를 측정하여 각 탄소의 chemical shift를 명확하게 동정하였다. C-7과 C-22의 chemical shift는 1의 HMQC에 있어서의 peak a와 peak b로부터 각각 δ 35.17과 δ 35.86로 동정하였고, C-1과 C-4의 경우는 ¹³C-NMR에 있어서의 두 signal이 서로 근접하여 HMQC spectrum에서는 구별하기가 힘들었으나, DEPT로부터 methylene과 quaternary 탄소를 측정하여 각각 δ 39.32과 δ 39.54로 동정할 수 있었다. 또한 C-18, C-19 및 C-29의 chemical shift는 Fig. 3의 HMQC spectrum에 있어서의 peak c, d 및 e로부터 각각 δ 16.31, δ 15.84, δ 16.44로 동정되었다. 그외의 탄소의 chemical shift도 HMQC를 상세히 조사하여 동정하였으나 다만 4급 탄소의 경우 수산기가 결합하고 있는 C-20이나 olefinic 탄소인 C-25와 같이 저자장쪽에서 관측되어 구별이 용이한 것을 제외하면 HMQC로는 동정이 불가능하다.

4급 탄소의 ¹³C-NMR에 있어서의 chemical shift를 동정하기 위하여 화합물 1에 대하여 HMBC(Fig. 4)를 측정하였다. C-10은 Fig. 4의 peak a(C-10/H-29)로부터, C-4는 peak b(C-4/H-28)와 peak c(C-4/H-29)로부터, C-8은 peak d(C-8/H-18) 및 peak e(C-8/H-30)

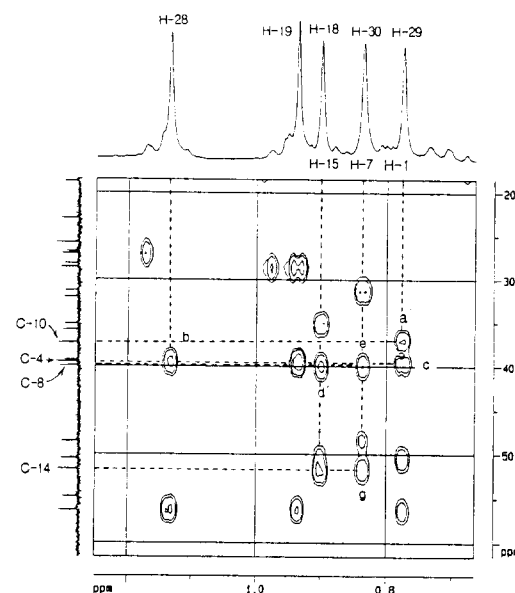


Fig. 4. HMBC Spectrum of (20S)-protopanaxadiol(1).

로부터, 그리고 C-14는 peak f(C-14/H-18) 및 peak g(C-14/H-30)로부터 각각 동정되었다.

위의 결과를 종합하여 (20S)-protopanaxadiol(1)의 ¹³C-NMR의 chemical shift를 Table 2와 같이 명확하게 동정하였다.

(20R)-protopanaxadiol(2)은 (20S) 배치를 가진 diol계 인삼 사포닌의 20번 수산기에 결합되어 있던 당이 SN1 반응 기작에 의해 수산기로 치환되며 (20S)-protopanaxadiol(1)과 함께 생성된 것으로 추정된다. (20R)-protopanaxadiol(2)의 ¹H-NMR(400 MHz, d ₅-Py)에 있어서 각 수소의 chemical shift는 ¹H-¹H COSY를 측정하여 동정하였으며, singlet으로 관측되는 8개의 methyl기는 NOESY를 이용하여 결정하였다.

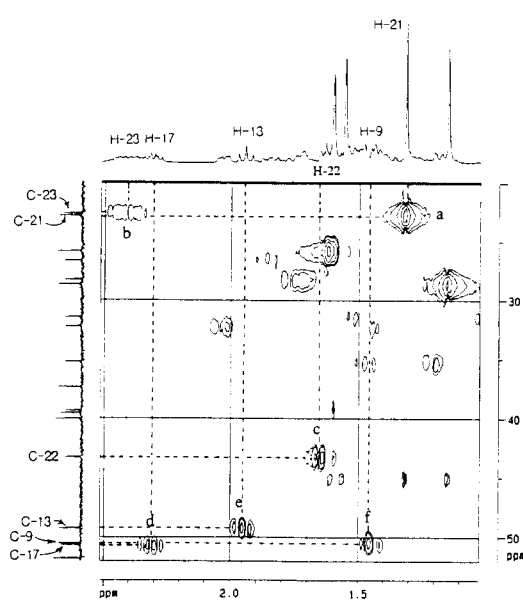
(20S)-protopanaxadiol(1)과 ¹H-NMR을 비교해 보면, C-20의 입체구조가 바뀜에 따라 주변의 전체적인 형태가 변한 것을 알 수 있다. 물론 C환과 D환의 경우 가까이 위치해 있지만, 환구조의 경우 입체적 장애 때문에 거의 변화가 없었고, C-20에서 C-27까지의 사슬구조의 경우는 뚜렷이 바뀐 것을 알 수 있다. 즉, 화합물 1의 경우 22번과 23번 methylene의 각 2개의 수소 signal이 H-22의 경우 1.63 ppm과 1.93 ppm, 그리고 H-23의 경우 2.21 ppm과 2.51 ppm에서 관측되어, geminal 위치의 수소들끼리 chemical shift 값의

Table 2. ^{13}C -NMR of (20S)-(1) and (20R)-protopanaxadiol(2) (400 MHz, d_5 -Py).

No. of H	(20S)-protopanaxadiol(1)		(20R)-protopanaxadiol(2)	
	Past ¹¹⁾	Present	Past ¹¹⁾	Present
1	39.5	39.32	39.5	39.24
2	28.2	28.24	28.2	28.25
3	77.9	77.94	78.0	77.94
4	56.3	56.32	56.4	39.55
5	56.3	56.32	56.4	56.34
6	18.7	18.74	18.8	18.77
7	35.2	35.17	35.3	35.21
8	40.0	40.00	40.1	40.03
9	50.4	50.47	50.6	50.48
10	37.3	37.33	37.4	37.35
11	32.0	32.08	42.2	32.22
12	70.9	71.00	70.8	70.88
13	48.5	48.55	49.2	49.21
14	51.6	51.70	51.7	51.77
15	31.8	31.33	31.5	31.43
16	26.8	26.83	26.6	26.63
17	54.7	54.80	50.6	50.63
18	16.2	16.31	16.3	16.31
19	15.8	15.84	15.9	15.86
20	72.9	72.91	72.9	72.94
21	26.9	27.06	22.7	22.78
22	35.8	35.86	43.2	43.25
23	22.9	22.98	22.7	22.60
24	126.2	126.30	126.0	126.03
25	130.6	130.75	130.6	130.76
26	25.8	25.81	25.9	25.82
27	17.6	17.67	17.7	17.69
28	28.6	28.66	28.7	28.67
29	16.4	16.44	16.5	16.47
30	17.0	17.00	17.3	17.32

차가 0.3 ppm으로 비교적 커으나, 화합물 2의 경우 H-22의 두개의 수소 signal이 2.36 ppm 부근에서 함께 관측이 되어, geminal 수소간에 chemical shift 값의 차이가 아주 작았다. 또한 2의 8개의 singlet methyl signal 중 7개의 signal이 모두 1에 비해 약 0.01 ppm에서 0.05 ppm까지 저자장으로 이동되어 관측이 되었으나, 유독 21번의 methyl기만은 0.02 ppm 고자장으로 이동되어 관측된 것을 알 수 있다.

(20R)-protopanaxadiol(2)의 ^{13}C -NMR(100 MHz, d_5 -Py)에 있어서의 chemical shift 값은 (20S)-protopanaxadiol(1)과 거의 유사하였으나, 다만 C-20의 입체구조가 변함에 따라 주위에 위치한 C-17, C-21, C-22의 값이 크게 변하게 되는데, HMQC(Fig. 5)를 이용하여,

**Fig. 5.** HMQC Spectrum of (20R)-protopanaxadiol(2).

각각 동정하였다. C-21은 peak a로부터 동정하였고, 이와 근접하여 관측되는 C-23은 peak b로부터 동정하였다. 이때 두 signal은 chemical shift 값의 차이가 0.18 ppm 밖에 나지 않아 HMQC로부터는 확실히 동정하기 어려웠으나, DEPT에 의해 methyl 탄소인 C-21과 methylene 탄소인 C-23을 구별할 수 있었다. 또한 C-22는 peak c로부터 동정하였고, C-17 및 그와 유사한 chemical shift 값을 보이는 C-13과 C-9는 각각 peak d, peak e 및 peak f로부터 동정하였다. 위와 같이 하여 동정된 ^1H - 및 ^{13}C -NMR의 data를 Table 1과 2에 정리하였다.

요 약

인삼의 다이올계 조사포닌 분회으로부터 몇 단계의 화학반응을 이용하여 (20S)-protopanaxadiol 및 그 임체이성질체인 (20R)-protopanaxadiol을 제조하였다. 또한 DEPT, ^1H - ^1H COST, HMQC, HMBC 및 NOESY와 같은 여러 가지 NMR 기법을 이용하여 두 화합물의 ^1H -NMR과 ^{13}C -NMR의 signal들을 완전히 동정하였다.

인 용 문 헌

1. 이광승, 도재호, 장진규, 노길봉, 이성계, 한중순, 임순빈 : 한국인삼연초연구소 인삼연구보고서(효능 및 제품분야), p. 232 (1991).
2. Morita, T. : *Hiroshima Univ. Doctoral Thesis*, p. 6 (1986).
3. Shibata, S., Tanaka, O., Ando, T., Sado, M., Tushima, S. and Ohsawa, T. : *Chem. Pharm. Bull.*, **14**, 595 (1966).
4. Kitagawa, I. : *Proc. 4th Int'l Ginseng Symp.*, p. 159 (1984).
5. Odashima, S., Ohta, T., Kohno, H., Matsuda, T., Kitagawa, I., Abe, H. and Arichi, S. : *Cancer Research*, **45**, 2781 (1985).
6. Ota, T., Fujikawa-yamamoto, K., Zong, Z., Yamazaki, M., Odashima, S., Kitagawa, I., Abe, H. and Arichi, S. : *Cancer Research*, **47**, 3863 (1987).
7. Lee, H. Y., Kim, S. I., Lee, S. K., Chung, H. Y. and Kim, K. W. : *Proc. 6th Int'l. Ginseng Symp.*, p. 127 (1993).
8. Kim, S. I., Baek, N.-I., Kim, D. S., Lee, Y. H., Kang, K. S. and Park, J. D. : *Yakhak Hoeji*, **35**, 432 (1991).
9. Cha, B. C. and Lee, S. G. : *Yakhak Hoeji*, **38**, 425 (1994).
10. 김신일, 박종대, 백남인, 이유희, 정소영 : 한국인삼연초연구원 인삼연구보고서(제품분야), 인쇄중 (1994).
11. Kitagawa, I., Yoshikawa, M., Yoshihara, M., Hayashi, T. and Taniyama, T. : *Yakugaku Zasshi*, **103**, 612 (1983).
12. Asakawa, J., Kasai, R., Yamasaki, K. and Tanaka, O. : *Tetrahedron*, **33**, 1935 (1977).